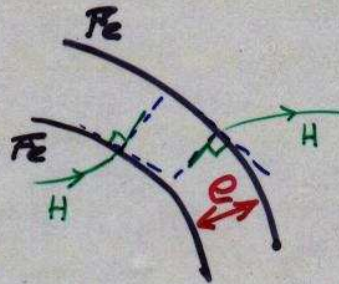
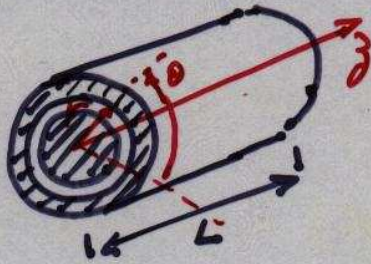


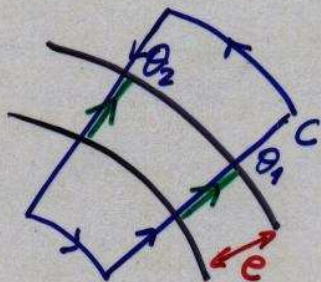
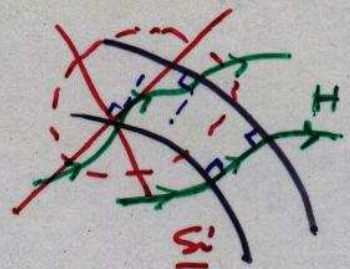
BREVE REVISIÓN DEL CAMPO GIRATORIO

1) Consideraciones de simetría \Rightarrow Campo magnético radial

Simetría cilíndrica - Se desprecia los efectos debidos a la longitud finita de la máquina.



$$\mu_{r, F_e} = \infty$$



$$\vec{H}(r, \theta, z) = H_r(r, \theta, z) \vec{u}_r + H_\theta(r, \theta, z) \vec{u}_\theta + H_z(r, \theta, z) \vec{u}_z$$

Si $L \approx \infty \Rightarrow H_z = 0 \Rightarrow$ Problema plano (2D)

Si e pequeño $\Rightarrow H_\theta = 0 \Rightarrow$ Solo hay componente radial del campo magnético

$$\vec{H}(r, \theta, z) = H_r(r, \theta, z) \vec{u}_r$$

Pero además:

- No depende de z si $L \approx \infty$
- Si se calcula el campo H medio a lo largo de e , no depende de r .

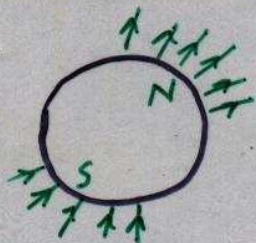
$$\Rightarrow \vec{H} = H_r(\theta) \vec{u}_r$$

\leftarrow Para un instante dado. Además puede depender de t .

$$\boxed{\vec{H} = H(\theta, t) \vec{u}_r}$$

Convención de signos $H > 0$ para r crecientes

$\Rightarrow H > 0$: saliente del rotor
: "Polo Norte" del rotor

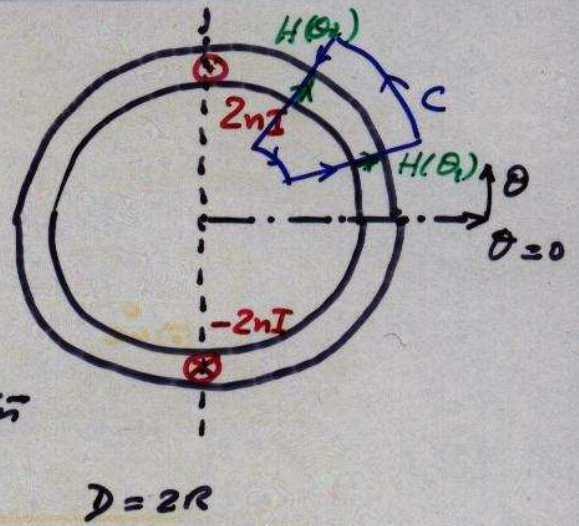


2) Campo magnético en el entrehierro de 1 bobina diametral

Ley de Ampère en un circuito C

$$\oint_C \vec{H} \cdot d\vec{l} = \iint_S \vec{J} \cdot \vec{n} ds$$

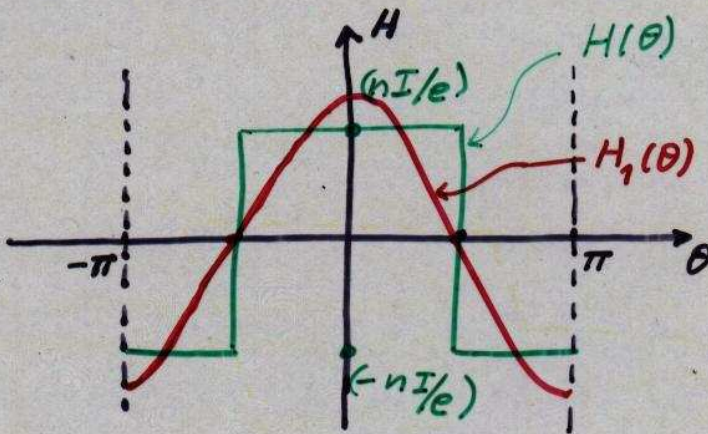
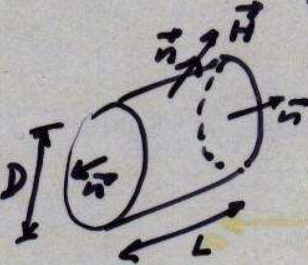
$$H(\theta_1) \cdot e - H(\theta_2) \cdot e = \begin{cases} 2nI \\ 0 \\ -2nI \end{cases}$$



$$\oint_S \vec{B} \cdot \vec{n} ds = 0$$

$$\vec{B} = \mu_0 \vec{H} \text{ (entrehierro)}$$

$$\mu_0 L R \int_0^{2\pi} H(\theta) d\theta = 0$$



$$H_1(\theta) = \frac{4}{\pi} \left(\frac{nI}{e} \right) \cos \theta$$

Con 1 bobina diametral se tiene una onda cuadrada para $H(\theta)$ ("paso diametral"). Hay técnicas de diseño del bobinado que permiten reducir el contenido armónico.

Def.: f.u.u. (fuerza magnetomotriz) de entrehierro $\mathcal{E}(\theta, t)$

$$\mathcal{E}(\theta, t) = H(\theta, t) \cdot e$$

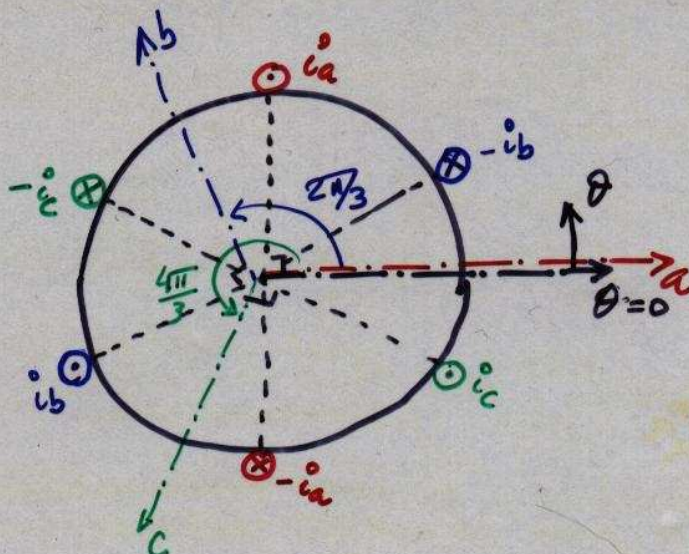
Hipótesis: f.u.u. de entrehierro sinusoidal

$$\mathcal{E}(\theta, t) = \frac{4}{\pi} \cdot K_b \cdot n \cdot i(t) \cos \theta$$

$$K_b = \text{coeficiente de bobinado} = K_d \cdot K_r \cdot K_s \leq 1$$

\swarrow distribución en varias ranuras
 \searrow inclinación de ranuras
 "reducción de paso" el ángulo entre conductores de ida y de vuelta es menor que π

$$n' = K_b \cdot n \quad \text{"Nº efectivo de espiras"}$$

3) Campo giratorio bipolar - Teorema de Poynting

$$E(\theta, t) = H(\theta, t) \cdot e \uparrow \text{cl.}$$

El campo resultante en el entrehierro es la suma (escalar) de las contribuciones de las 3 bobinas

$$\left. \begin{aligned} E_a(\theta, t) &= \frac{4}{\pi} n'_a i_a(t) \cos \theta \\ E_b(\theta, t) &= \frac{4}{\pi} n'_b i_b(t) \cos \left(\theta - \frac{2\pi}{3} \right) \\ E_c(\theta, t) &= \frac{4}{\pi} n'_c i_c(t) \cos \left(\theta - \frac{4\pi}{3} \right) \end{aligned} \right\} \begin{array}{l} 3 \text{ bobinas iguales} \\ n'_a = n'_b = n'_c = n'_s \end{array}$$

$$\left. \begin{aligned} i_a(t) &= I_s \sqrt{2} \cos(\omega t - \varphi) \\ i_b(t) &= I_s \sqrt{2} \cos\left(\omega t - \varphi - \frac{2\pi}{3}\right) \\ i_c(t) &= I_s \sqrt{2} \cos\left(\omega t - \varphi - \frac{4\pi}{3}\right) \end{aligned} \right\} \text{Sistema trifásico equilibrado directo}$$

$$\begin{aligned} E(\theta, t) &= E_a(\theta, t) + E_b(\theta, t) + E_c(\theta, t) \\ &= \frac{4}{\pi} n'_s I_s \sqrt{2} \left[\cos(\omega t - \varphi) \cos \theta + \cos\left(\omega t - \varphi - \frac{2\pi}{3}\right) \cos\left(\theta - \frac{2\pi}{3}\right) + \cos\left(\omega t - \varphi - \frac{4\pi}{3}\right) \cos\left(\theta - \frac{4\pi}{3}\right) \right] \end{aligned}$$

$$\cos a \cos b = \frac{1}{2} [\cos(a+b) + \cos(a-b)]$$

$$E(\theta, t) = \frac{1}{2} \frac{4}{\pi} n'_s I_s \sqrt{2} \left[\cos(\omega t - \varphi + \theta) + \cos(\omega t - \varphi - \theta) + \cos\left(\omega t - \varphi + \theta - \frac{4\pi}{3}\right) + \cos\left(\omega t - \varphi - \theta\right) + \cos\left(\omega t - \varphi + \theta - \frac{2\pi}{3}\right) + \cos\left(\omega t - \varphi - \theta\right) \right]$$

$0 \equiv$

$$E(\theta, t) = \frac{3}{2} \frac{4}{\pi} n'_s I_s \sqrt{2} \cos(\omega t - \theta - \varphi)$$

$$\boxed{E(\theta, t) = E_{\max} \cos(\omega t - \theta - \varphi)}$$

i) Si $\theta = \theta_0$ fijo $\Rightarrow E(\theta_0, t) = E_{\max} \cos(\omega t - \varphi')$
 Sinusoidal en t $\varphi' = \varphi + \theta_0$

ii) Si $t = t_0$ fijo $\Rightarrow E(\theta, t_0) = E_{\max} \cos(\theta - \omega t_0 + \varphi)$
 Sinusoidal en θ

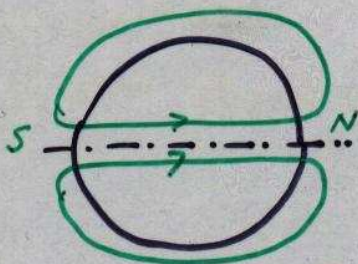
iii) Velocidad de sincronismo: para un observador que se desplaza por el estator a una velocidad $\Omega = \frac{d\theta}{dt}$, existe una velocidad Ω_s ("de sincronismo") tal que "vea" un campo $E = \underline{cte}$.

$$dE = 0 \Rightarrow dE = -E_{\max} \sin(\omega t - \theta - \varphi) [\underbrace{\omega dt - d\theta}_0] = 0$$

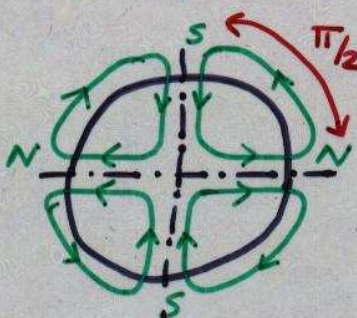
$$\Rightarrow \boxed{\omega = \frac{d\theta}{dt} = \Omega_s} \text{ (campo bipolar)}$$

4) Campo multipolar

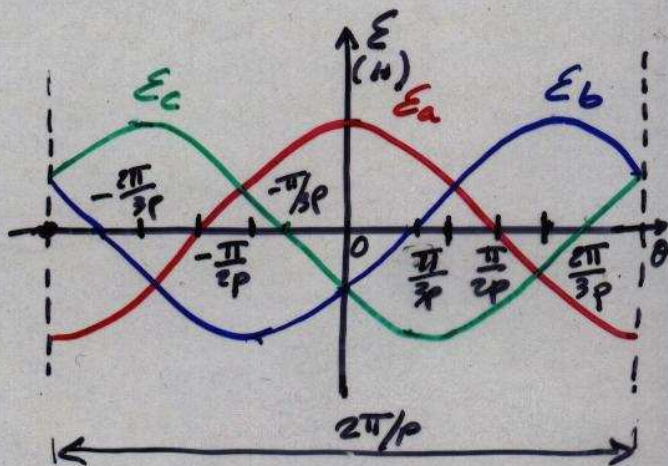
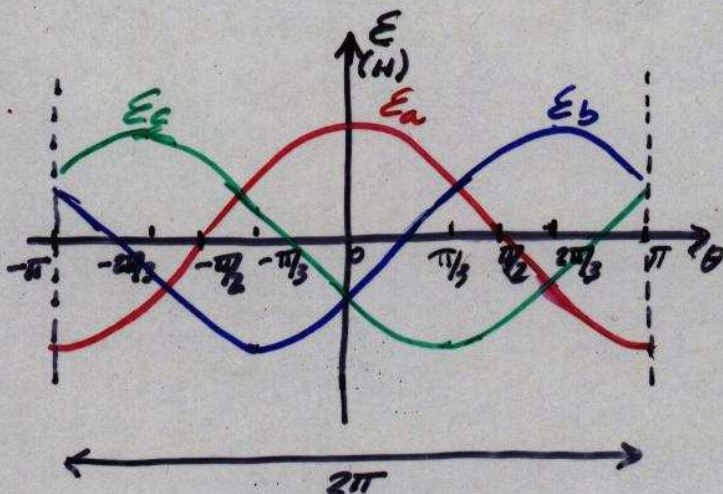
bipolar



cuadripolar



multipolar $2\pi/p$



$$E_a(\theta, t) = \frac{4}{\pi} n'_s i_a(t) \cos p\theta$$

$$E_b(\theta, t) = \frac{4}{\pi} n'_s i_b(t) \cos p(\theta - \frac{2\pi}{3})$$

$$E_c(\theta, t) = \frac{4}{\pi} n'_s i_c(t) \cos p(\theta - \frac{4\pi}{3})$$

$$i_a(t) = I_s \sqrt{2} \cos(\omega t - \varphi)$$

$$i_b(t) = I_s \sqrt{2} \cos(\omega t - \varphi - \frac{2\pi}{3})$$

$$i_c(t) = I_s \sqrt{2} \cos(\omega t - \varphi - \frac{4\pi}{3})$$

$$E(\theta, t) = E_a(\theta, t) + E_b(\theta, t) + E_c(\theta, t)$$

$$= \frac{4}{\pi} n'_s I_s \sqrt{2} \left[\cos p\theta \cos(\omega t - \varphi) + \cos(p\theta - \frac{2\pi}{3}) \cos(\omega t - \varphi - \frac{2\pi}{3}) + \cos(p\theta - \frac{4\pi}{3}) \cos(\omega t - \varphi - \frac{4\pi}{3}) \right]$$

$$E(\theta, t) = \frac{4}{\pi} n'_s I_s \sqrt{2} \frac{1}{2} \left[\cos(p\theta + \omega t - \varphi) + \cos(p\theta - \omega t + \varphi) + \cos(p\theta + \omega t - \varphi - \frac{4\pi}{3}) + \cos(p\theta - \omega t + \varphi) + \cos(p\theta + \omega t - \varphi - \frac{2\pi}{3}) + \cos(p\theta - \omega t + \varphi) \right]$$

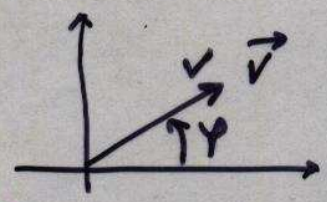
$$E(\theta, t) = \frac{3}{2} \cdot \frac{4}{\pi} n'_s I_s \sqrt{2} \cos(\omega t - p\theta - \varphi)$$

Velocidad de Sincronismo: $\Omega_s = \frac{\omega}{p}$ // $p\theta = \theta_e = \text{ángulo eléctrico}$

5) Representación fasorial o vectorial

$$v(t) = \sqrt{2} \cos(\omega t + \varphi) = \text{Re}(\sqrt{2} e^{j(\omega t + \varphi)}) = \text{Re}(\sqrt{2} e^{j\varphi} \cdot e^{j\omega t})$$

$$v(t) \Leftrightarrow \underbrace{\sqrt{2}}_{\vec{v}} \angle \varphi \quad (\text{si } \sqrt{2} \angle \varphi)$$



$$E(\theta, t) = E_{\text{máx}} \cos(\omega t - \theta - \varphi)$$

Para cada $\theta = \theta_0$ se tendrían una magnitud sinusoidal en t .
 \Rightarrow Nº infinito de fases. \leftarrow Pero todas correlacionadas

Se elige (por convención) $\theta = \theta_0 = 0$

$$\Rightarrow \boxed{E(\theta, t) \leftrightarrow \vec{E}^{\circ} = E_{\text{máx}} \angle -\varphi}$$

- Se eligió (por convención) definir la fase de las corrientes respecto de una de ellas, la fase \underline{a} .
- Se cuentan los ángulos de posición en el Entrelasero a partir del eje de la fase \underline{a} .
- Para $\theta = 0$, la "fase" del campo sinusoidal es igual a la fase de la corriente en la fase \underline{a} .